

11N40MIMO_Ant1_5550



11N40MIMO_Ant2_5550



11N40MIMO_Ant3_5550



11N40MIMO_Ant4_5550



11N40MIMO_Ant1_5670



11N40MIMO_Ant2_5670



11N40MIMO_Ant3_5670



11N40MIMO_Ant4_5670



11N40MIMO_Ant1_5755



11N40MIMO_Ant2_5755



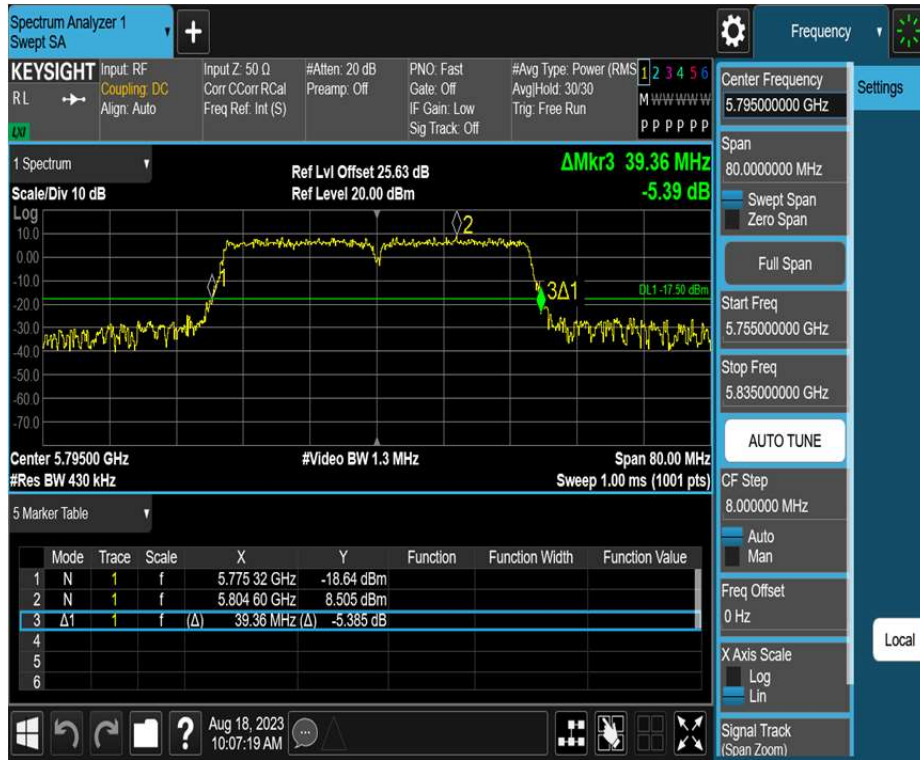
11N40MIMO_Ant3_5755



11N40MIMO_Ant4_5755



11N40MIMO_Ant1_5795



11N40MIMO_Ant2_5795



11N40MIMO_Ant3_5795



11N40MIMO_Ant4_5795



11AC20MIMO_Ant1_5180



11AC20MIMO_Ant2_5180



11AC20MIMO_Ant3_5180



11AC20MIMO_Ant4_5180



11AC20MIMO_Ant1_5200



11AC20MIMO_Ant2_5200



11AC20MIMO_Ant3_5200



11AC20MIMO_Ant4_5200



11AC20MIMO_Ant1_5240



11AC20MIMO_Ant2_5240



11AC20MIMO_Ant3_5240



11AC20MIMO_Ant4_5240



11AC20MIMO_Ant1_5260



11AC20MIMO_Ant2_5260



11AC20MIMO_Ant3_5260



11AC20MIMO_Ant4_5260



11AC20MIMO_Ant1_5280



11AC20MIMO_Ant2_5280



11AC20MIMO_Ant3_5280



11AC20MIMO_Ant4_5280



11AC20MIMO_Ant1_5320



11AC20MIMO_Ant2_5320



11AC20MIMO_Ant3_5320



11AC20MIMO_Ant4_5320



11AC20MIMO_Ant1_5500



11AC20MIMO_Ant2_5500



11AC20MIMO_Ant3_5500



11AC20MIMO_Ant4_5500



11AC20MIMO_Ant1_5580



11AC20MIMO_Ant2_5580



11AC20MIMO_Ant3_5580



11AC20MIMO_Ant4_5580



11AC20MIMO_Ant1_5700



11AC20MIMO_Ant2_5700



11AC20MIMO_Ant3_5700



11AC20MIMO_Ant4_5700



11AC20MIMO_Ant1_5745



11AC20MIMO_Ant2_5745



11AC20MIMO_Ant3_5745



11AC20MIMO_Ant4_5745



11AC20MIMO_Ant1_5785



11AC20MIMO_Ant2_5785



11AC20MIMO_Ant3_5785



11AC20MIMO_Ant4_5785

